



## سنگ‌نگاری، زمین‌شیمی و جایگاه زمین‌ساختی توده‌های نفوذی منطقه قره بلاغ در شمال هشت‌رود، آذربایجان شرقی، شمال غرب ایران

مرضیه رضایی‌اقدم<sup>\*</sup>، احمد جهانگیری<sup>۱</sup>، محسن موید<sup>۱</sup>، قهرمان سهرابی<sup>۲</sup>

۱- گروه علوم زمین، دانشکده علوم طبیعی، دانشگاه تبریز، تبریز، ایران

۲- گروه زمین‌شناسی، دانشکده علوم، دانشگاه محقق اردبیلی، اردبیل، ایران

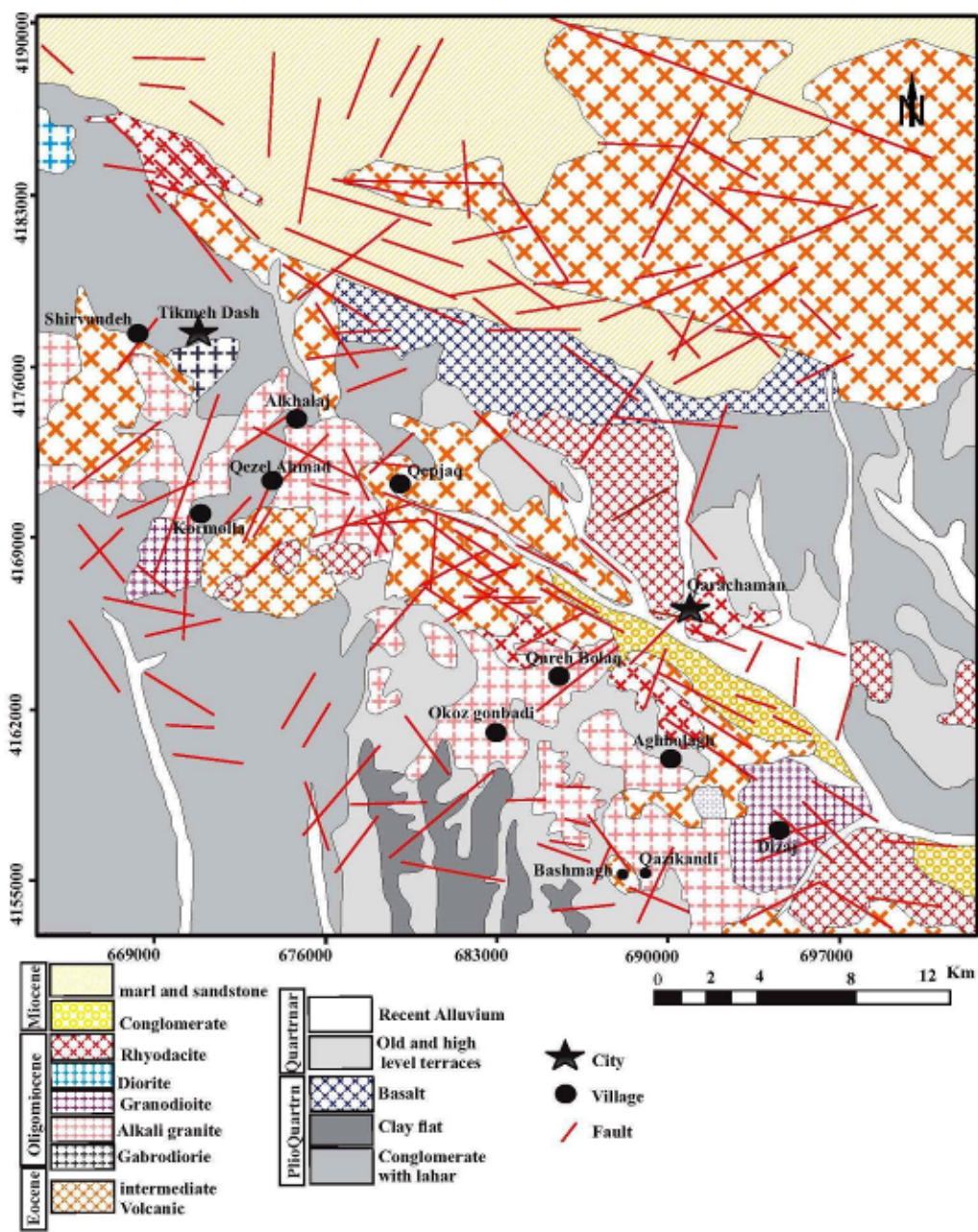
(دریافت مقاله: ۹۸/۴/۲۶، نسخه نهایی: ۹۸/۸/۱۸)

**چکیده:** فعالیت‌های ماقمایی طی سنوزئیک موجب جایگیری توده‌های نفوذی متعددی در پهنه البرز غربی- آذربایجان به‌ویژه در نوار بستان آباد- میانه شده است. این توده‌های نفوذی به سن الیگومیوسن شامل گرانیت قلیایی، گرانودیبوریت و بیوتیت گرانیت، در سنگ‌های آتش‌فشاری-رسوی ائوسن نفوذ کرده‌اند. بافت‌های دانه‌ای، گرافیکی و پرتیتی از مهمترین بافت‌های این سنگ‌ها هستند. بررسی-های زمین‌شیمیایی نشان می‌دهد که این سنگ‌ها هم خاستگاه بوده و سرشت ماقمایی آنها آهکی قلیایی تا آهکی قلیایی پتابسیم بالا، متا آلومین و از گرانیت‌وئیدهای نوع I هستند. غنی‌شدگی از عنصر سنگدوست بزرگ‌یون (LILE) مانند Cs, K, Rb, Th نسبت به عناصر با شدت میدان بالا (HFSE) مانند Ti, Zr, Nb و بی‌هنگاری منفی شاخص در Nb و Ti و همچنین غنی‌شدگی از عناصر خاکی‌نادر سبک (LREE) نسبت به عناصر خاکی‌نادر سنگین (HREE) نشان‌دهنده پیدایش این سنگ‌ها در پهنه ماقمایی بالای پهنه فرورانش است. ناهنجاری مثبت Pb و K نشان‌دهنده دخالت پوسته‌ای در تکامل ماقمای مادر آنهاست. هنگام بالا آمدن ماقمای، فرایندهای هضم، آلایش پوسته‌ای و جدایش بلورین رخ داده است. نمودارهای شناسایی پهنه‌های زمین‌ساختی بیانگر قوس‌های آتش‌فشاری و محیط‌های اوخر برخورد تا بعد از تصادم در پهنه کمان بالغ در پوسته‌ی قاره‌ای با ستبرای کم (کمتر از ۴۵ کیلومتر) است. ماقمای اولیه از ذوب بخشی پریدوتیت‌های غنی شده گوه گوشته‌ای پدید آمده است.

**واژه‌های کلیدی:** سنگ‌نگاری؛ زمین‌شیمی؛ جایگاه زمین‌ساختی؛ قره بلاغ؛ توده‌های نفوذی.

پترولوزی و ژئوشیمی توده‌های نفوذی منطقه انجام داده‌اند که از آن جمله می‌توان به [۱-۷] اشاره کرد. [۱] عنوان نمودند که توده‌های گرانیت‌وئیدی منطقه در بین سنگ‌های رسوبی-آتش‌فشاری ائوسن رخ‌منون دارند و به الیگوسن نسبت داده شده‌اند. [۲] در نقشه ماقمایی ایران با مقیاس یک میلیونیم، زمان نفوذ گرانیت‌وئیدهای بستان آباد- میانه را به الیگوسن نسبت داده‌اند و ترکیب آنها را در حد گرانیت- گرانودیبوریت و مونزونیت با ماهیت آهکی قلیایی معرفی نموده‌اند. [۳] توده‌های نفوذی جنوب بستان آباد را از انواع کوارتز‌مونزون‌دیبوریت،

مقدمه زون بستان آباد- قره چمن- هشت‌رود- میانه به خاطر وجود توده‌های نفوذی متعدد (آلکالی گرانیت، گرانودیبوریت، مونزون‌گرانیت، مونزون‌دیبوریت، دیبوریت و گابرو- دیبوریت) و سنگ‌های ولکانیکی متنوع (حدواسط تا اسیدی) سنوزئیک و پتابسیل‌های معدنی متنوع و چشمگیر از جمله کانه‌زایی عناصر فلزی (مس، طلا، مولیبدن، سرب، روی و آهن) در اطراف توده‌های نفوذی مورد توجه زمین‌شناسان بوده است. شرکت‌ها و افراد مختلفی مطالعاتی در خصوص کانه‌زایی، تکتونیک،



شکل ۱ نقشه ساده از منطقه مورد بررسی برگرفته از نقشه‌های ۱:۱۰۰۰۰۰ بستان آباد [۱]، هشت‌رود [۱۱] و قره چمن [۱۲].

**زمین‌شناسی عمومی منطقه**  
نوار آتشفشنای نفوذی بستان آباد- هشت‌رود- میانه بخشی از پهنه آذربایجان- البرز است که در مرز بین گسل بزقوش در شمال و گسل سراسکند در جنوب غرب قرار دارد. گسل تبریز مهمترین رخداد زمین‌ساختی این منطقه، در شکل‌گیری برخی فعالیت‌های آذربایجان نقش اساسی دارد. بر اساس نقشه‌های زمین‌شناسی ۱:۱۰۰۰۰۰ بستان آباد [۱]، هشت‌رود [۱۱] و قره چمن [۱۲]، مهمترین واحدهای زمین‌شناسی منطقه مورد بررسی (شکل ۱) شامل سنگ‌های آتشفشنای ائوسن، توده‌های

کوارتز‌مونزونیت، گرانوپیوریت، سینوگرانیت و الکالی گرانیت با سن ائوسن- الیگوسن و از نوع I با ماهیت کالک آلکالن پتابسیم بالا معرفی نمودند. گرانیتوئیدهای پهنه ماگمایی البرز- آذربایجان از دیدگاه جایگاه زمین‌ساختی، شیمی عنصرهای اصلی، سرشت انکلاوه‌ها، دارا بودن کانی‌های فرعی و رده بندی زایشی بررسی شده‌اند [۱۰-۸]. در این تحقیق سنگ نگاری، ویژگیهای زمین‌شیمیایی، جایگاه تکتونیکی و فرآیندهای موثر بر شکل‌گیری توده‌های نفوذی منطقه قره بлаг مطالعه شده است.

هستند که گاهی به کلریت تجزیه شده‌اند و به این خاطر به رنگ سبز دیده می‌شوند. کانی‌های فرعی این توده شامل آپاتیت، اسفن و زیرکن هستند. زیرکن نسبت به کانی‌های فرعی دیگر فراوانتر است (شکل‌های ۳ الف و ب).

**گرانیت قلیایی:** بافت‌های گرانیت‌های قلیایی، فلزیتی، پرتیتی، نیمه‌خودریخت دانه‌ای، خال خال، راپاکیوی و گرافیکی است. کانی‌های اصلی گرانیت‌های قلیایی شامل کوارتز با فراوانی ۵۰-۴۵ درصد و پتاسیم فلدسپار با فراوانی ۴۰-۴۵ درصد است. کانی‌های فرعی شامل آپاتیت، اسفن، زیرکن و کانی‌های کدر کمتر از ۳ درصد و پلاژیوکلاز ۲-۵ درصد است. گاهی کوارتز بصورت همرشدی با پتاسیم فلدسپار بافت گرافیکی را بوجود آورده است (شکل ۳ پ). پیرامون برخی ارتوزاها پلاژیوکلاز قرار دارد که بافت راپاکیوی را بوجود آورده است (شکل ۳ ت). تفاوت بارز گرانیت قلیایی نسبت به گرانودیوریت دارا بودن بلورهای کوچکتر و مقادیر بیشتر کانی‌های فلدسپار پتاسیم و کوارتز و مقادیر کم کانی‌های فرومیزین است. گابرودیوریت: در گابرودیوریت‌های جنوب تیکمه داش کانی‌های پلاژیوکلاز کلسیمی و کلینوپیروکسن به ترتیب بیشترین فراوانی را دارند. کمی الیوین و کانی‌های کدر نیز در ترکیب سنگ حضور دارند. بافت اصلی در بررسی میکروسکوپی بیشتر بافت‌های نیمه‌خودریخت دانه‌ای، پوستماری و نیمه‌پوستماری است. در مقاطع نازک، پلاژیوکلازها اغلب بصورت شکلدار تا نیمه شکلدار با ۴۰-۴۵ درصد حجمی و گاهی با منطقه‌بندی ترکیبی دیده می‌شوند (شکل ۳ ث). اندازه پلاژیوکلازها حدود ۱ میلی‌متر بوده و ترکیب شیمیایی آنها بر حسب زاویه خاموشی و روش میشل لوی (پیرامون ۵۵ درجه) لابرادوریت تعیین شده است. برخی از پلاژیوکلازها دارای میانبارهایی از سوزن‌های آپاتیت، اسفن و زیرکن هستند. درشت‌بلورهای کلینوپیروکسن با فراوانی ۳۰-۳۵ درصد با اندازه بیش از ۲ میلی‌متر به صورت نیمه شکلدار تا شکلدار هستند و اغلب منطقه‌بندی و ماکل دوقلویی نشان می‌دهند (شکل ۳ ث). بیوپتیتها بعنوان کانی فرعی در مقاطع نازک به رنگ قهوه‌ای که رنگ تا پرنگ با حجم کمتر از ۵ درصد دیده می‌شوند. آمفیبول نیمه شکلدار از دیگر کانی‌های فرعی مافیک است که کمتر از ۵ درصد حجمی سنگ را تشکیل می‌دهد. آمفیبولها اغلب بصورت پرکننده کنار میکاها و کانی‌های مافیک دیده می‌شوند. الیوین شکلدار با فراوانی کمتر از ۵ درصد حجمی از دیگر کانی‌های فرعی گابرودیوریت‌ها محسوب می‌شود.

نفوذی و گنبدهای شبه‌آتشفشنای الیگوسن- میوسن، تناوبی از ماسه سنگ و مارن‌های میوسن و واحدهای آذرآواری پلیوسن- پلئیستوسن وابسته به آتشفشن سهند هستند. واحدهای آتشفشنای ائوسن توسط انواع توده‌های نفوذی گرانیت‌وئیدی قطع شده و هر دو مجموعه بیشتر توسط واحدهای آذرآواری پلیوسن- پلئیستوسن پوشیده شده‌اند. از این رو، توده‌های نفوذی به الیگوسن نسبت داده می‌شود. سنگ‌های آتشفشنای ائوسن در اصل شامل آندزیت، لاتیت پورفیری با بلورهای درشت پلاژیوکلاز شکل دار هستند. بیشتر پهنه‌هایی دگرسانی و کانه‌زایی فلزی (مس، طلا، سرب، روی و مولیبدن) محور بستان آباد- میانه، با استوک‌های کوچک تا بزرگ توده‌های گرانیت‌وئیدی منطبق است. بطورکلی، توده‌های نفوذی این محور از بازی تا اسیدی متغیر است. توده‌های نفوذی بازی این نوار شامل گابرودیوریت و مونزودیوریت و انواع حدواسط شامل مونزوگرانیت، بیوپتیت گرانیت و گرانودیوریت و توده‌های اسیدی شامل گرانیت قلیایی و آپلتیت هستند (شکل ۲). درونبوم‌های مافیک گرد و بیضوی شکل با مرز مشخص در گرانیت‌وئیدهای حدواسط دیده می‌شوند.

توده‌های نفوذی دیوریتی و گابرودیوریتی در جنوب تیکمه داش و توده‌های گرانیت‌وئیدی حدواسط همراه با درونبوم‌ها بیشتر در جنوب‌شرقی قره چمن و جنوب تیکمه داش و توده‌های نفوذی با ترکیب گرانیت قلیایی و آپلتیت ریزدانه اغلب در شمال هشت‌رود رخنمون دارند.

### روش بررسی

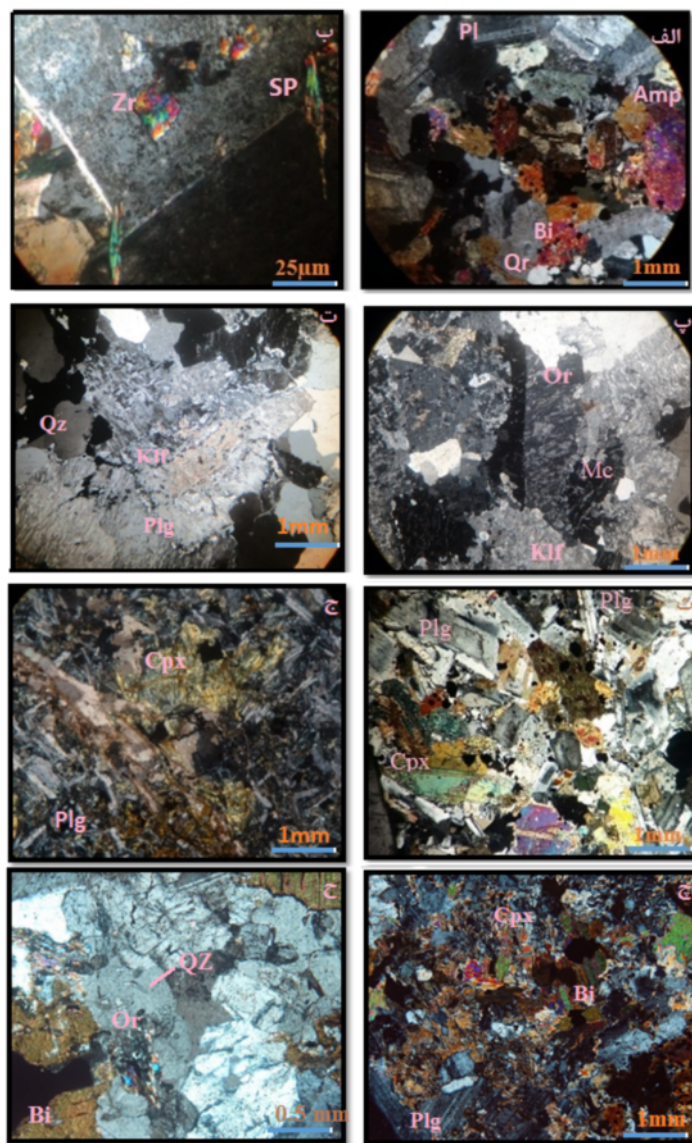
برای بررسی توده‌های نفوذی منطقه، طی بازدید صحرایی، تعداد ۲۱ نمونه از سنگ‌های سالم انتخاب و به روش طیف- سنجی جرمی پلاسمای جفت‌شده القایی (ICP-MS) و طیف- سنجی فلورسانس پرتوی ایکس (XRF) در آزمایشگاه زرآزم تجزیه شدند. نمودارهای مختلف زمین‌شیمیایی و زمین‌ساختی توسط نرم افزارهای GCDkit و اکسل رسم و تحلیل شدند.

### سنگ نگاری

**گرانودیوریت:** دارای بافت تمام‌بلورین دانه‌ای هستند. کانی‌های اصلی گرانودیوریت شامل حدود ۳۰-۳۵ درصد پلاژیوکلاز، حدود ۲۵-۳۰ درصد پتاسیم فلدسپار، حدود ۱۰-۱۵ درصد کوارتز، ۱۰ درصد بیوپتیت و حدود ۱۵ درصد حجمی سنگ آمفیبول هستند. بافت عمومی این سنگ‌ها نیمه‌خودریخت دانه‌ای و خال خال است. بیوپتیتها به رنگ قرمز و قهوه‌ای



شکل ۲ الف- گرانیت قلیایی که گرانودیوریت را قطع کرده است (شرق روستای دیزج) ب- تصویر نمونه دستی از گرانودیوریت.



شکل ۳ تصاویر میکروسکوپی توده‌های نفوذی منطقه: الف- گرانودیوریت شامل بلورهای پلازیوکلаз، فلدسپار قلیایی، کوارتز، بیوتیت و به مقدار کم آمفیبول با بافت دانه‌ای و خال خال (پیرامون روستای دیزج)، ب- تشکیل زیرکن و اسفن در فلدسپار قلیایی در متن گرانودیوریت، ب- بافت گرافیکی و همرشدی پرتیتی در گرانیت قلیایی، ث- بافت راپاکیو و پرتیتی در گرانیت قلیایی، ث- بافت‌های دانه‌ای، پوست‌ماری و نیمه‌پوست‌ماری و پیروکسن با منطقه بندی دوقلویی در گابرو دیوریت جنوب تیکمه داش، ج- بافت نیمه‌پوست‌ماری و میان‌دانه‌ای، تبدیل پیروکسن به آمفیبول و کلریت، تبدیل برخی پلازیوکلازها به اپیدوت از محل شکستگی‌ها، قطع شدن سنگ توسط رگچه ثانویه کلسیت در دایک دیابازی، ج- بافت ریزدانه‌ای و نهان‌دانه‌ای پورفیری در درونبوم مونزودیوریتی و ح- بافت گرافیکی در درونبوم مونزونیتی.

اکسید آلومینیوم بر اساس نمودار [۱۴]، سنگ‌های منطقه در گستره متاآلومین قرار دارند (شکل ۴ ب). ویژگی متاآلومین بودن بیشتر نشانگر خاستگاه آذربین است. محیط زمین‌ساختی پهنه فروراش در کرانه قاره و جزایر قوسی، محیط مناسبی برای کسب این ویژگی توسط گرانیت‌وئیدها بوده و از ویژگی‌های گرانیت‌وئیدهای نوع I است [۱۵]. بر اساس نسبت  $\text{SiO}_2/\text{K}_2\text{O}$  که برای جدایش سری‌های ماقمایی بکار رفته است [۱۶] نمونه‌های منطقه در گستره سری آهکی قلیایی با پتاسیم بالا و سری شوشونیتی قرار دارند (شکل ۴ پ). آنها در نمودار  $\text{Co}/\text{Th}$  در گستره آهکی قلیایی با پتاسیم بالا و درونبومها در گستره آهکی قلیایی واقع شده‌اند (شکل ۴ ت).

برای تعیین سرشت ماقمایی توده‌های نفوذی منطقه از نمودارهای هارکر استفاده شد. چنان که در نمودار  $\text{SiO}_2/\text{K}_2\text{O}$  نسبت به تغییرات عنصرهای اصلی دیده می‌شود، این تغییرات همپوشی و پیوستگی ویژه‌ای در روند نمونه‌های توده‌های نفوذی نشان می‌دهند (شکل ۵). بر اساس نمودارهای هارکر،  $\text{TiO}_2/\text{MgO}$ ,  $\text{CaO}/\text{MnO}$ ,  $\text{Al}_2\text{O}_3/\text{Fe}_2\text{O}_3$  می‌تواند نشانگر هم ماقما بودن و در ارتباط با جدایش و تبلور کانی‌های پلازیوکلاز کلسیمی در ترم‌های مافیک و حدواسط و کانی‌های فرومینیزین مانند اولیوین، پیروکسن، تیتانومگنتیت و ایلمنیت باشد. همبستگی مثبت  $\text{SiO}_2/\text{K}_2\text{O}$  پیامد ناسازگاری این عنصر در مرحله‌های نخستین تبلور ماقمایی و پیشرفت فرایند جدایش بلورین است. البته آلایش پوسته‌ای در افزایش مقدار K نیز موثر است. مقدار  $\text{P}_2\text{O}_5$  در کل کاهش می‌یابد، زیرا این اکسید در مراحل ابتدایی تبلور وارد ساختمان آپاتیت شده است. این ویژگی شاخص گرانیت‌وئیدهای نوع I نیز (برخلاف گرانیت‌وئیدهای نوع S) است [۱۸]. در نمودار  $\text{SiO}_2/\text{Rb}$  نسبت به تغییرات عنصرهای فرعی و جزئی و برخی عنصرهای کمیاب (شکل ۶)، همبستگی مثبت  $\text{SiO}_2/\text{Rb}$  با بیانگر تمرکز Rb در کانی‌هایی چون بیوتیت و فلدسپار پتاسیم است. روند مثبت و غنی‌شدنگی عناصر کمیاب ناسازگار در محیط‌های کرانه‌های فعل قاره‌ای می‌تواند بدلیل جدایش و یا غنی‌شدنگی مواد گوشه‌ای و یا آلایش پوسته‌ای در این نوع ماقماها باشد [۱۹] که در منطقه مورد بررسی بر اساس ویژگی زمین‌شیمیایی سنگ‌ها هر سه مورد دخیل بوده است. روند تقریباً افقی عناصر Cr و Ni و پراکنده‌گی و بی‌نظمی عناصری مانند Ce, Sn, W, La, Nb, Nd, Cu, Mo, Pb را می‌توان به پدیده‌هایی چون آلایش و هضم نسبت داد.

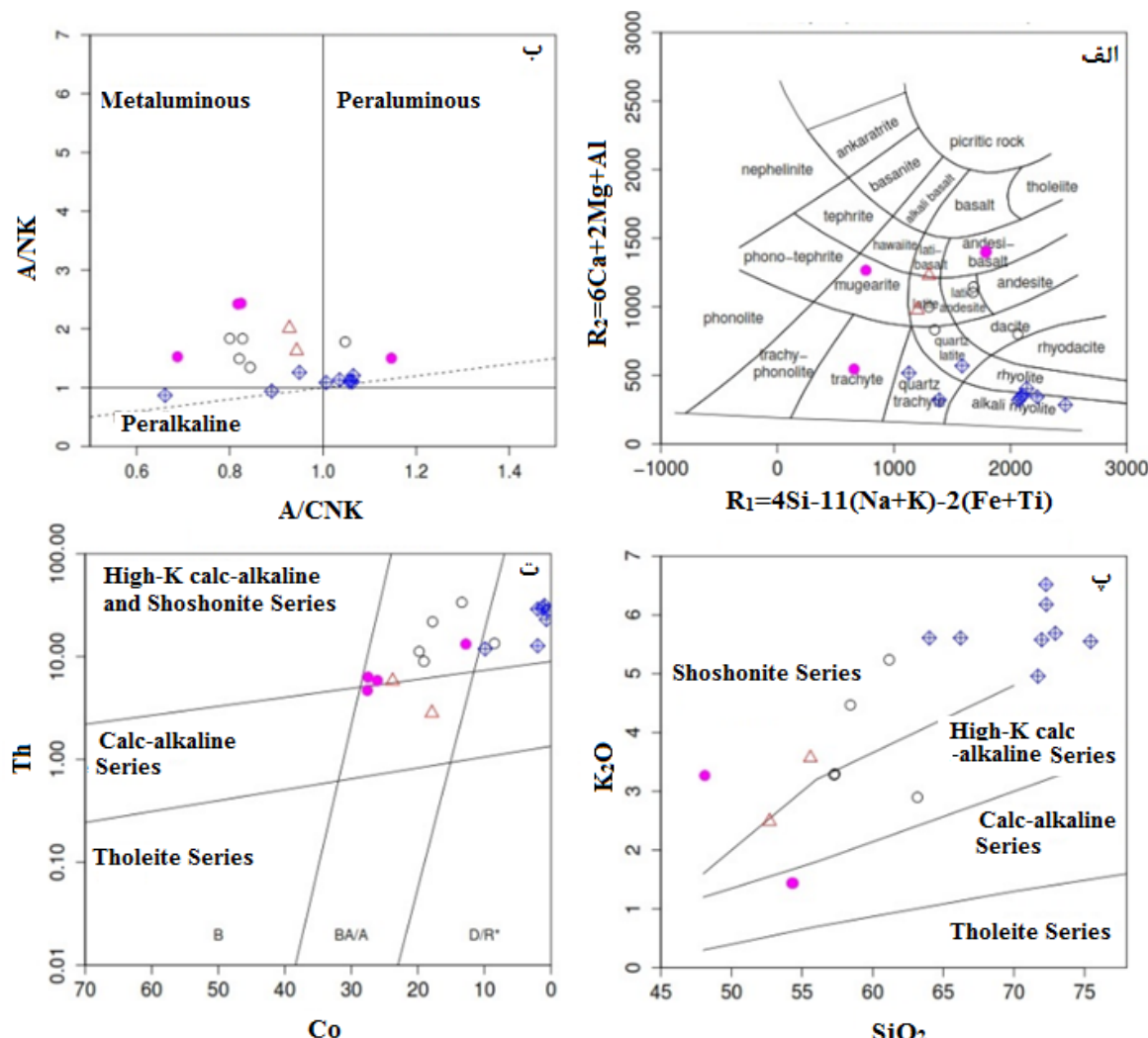
دایک‌های دیابازی: در دایک‌های دیابازی، بافت سنگ نهان‌دانه پورفیری، پوستماری و نیمه‌پوستماری و ریزدانه‌ای است. در بعضی موارد، کلینوپیروکسن‌ها به کلسیت و آمفیبول تبدیل شده‌اند. آمفیبول‌ها نیز در حال تبدیل به کلریت هستند. گاهی کانی‌های رسی و رگچه‌های ثانویه کلسیتی کانی‌های اولیه را قطع نموده‌اند. دایک‌های دیابازی دارای زمینه دانه‌ریزتر با پلازیوکلاز فراوان هستند که دستخوش اپیدوتی شدن گردیده‌اند. از کانی‌های اصلی می‌توان به پلازیوکلاز با فراوانی ۴۰–۴۵ درصد، پیروکسن با فراوانی ۳۰–۳۵ درصد و آمفیبول ۱۰–۲۰ درصد حجمی سنگ اشاره نمود (شکل ۳ ج).

#### درونبوم‌ها

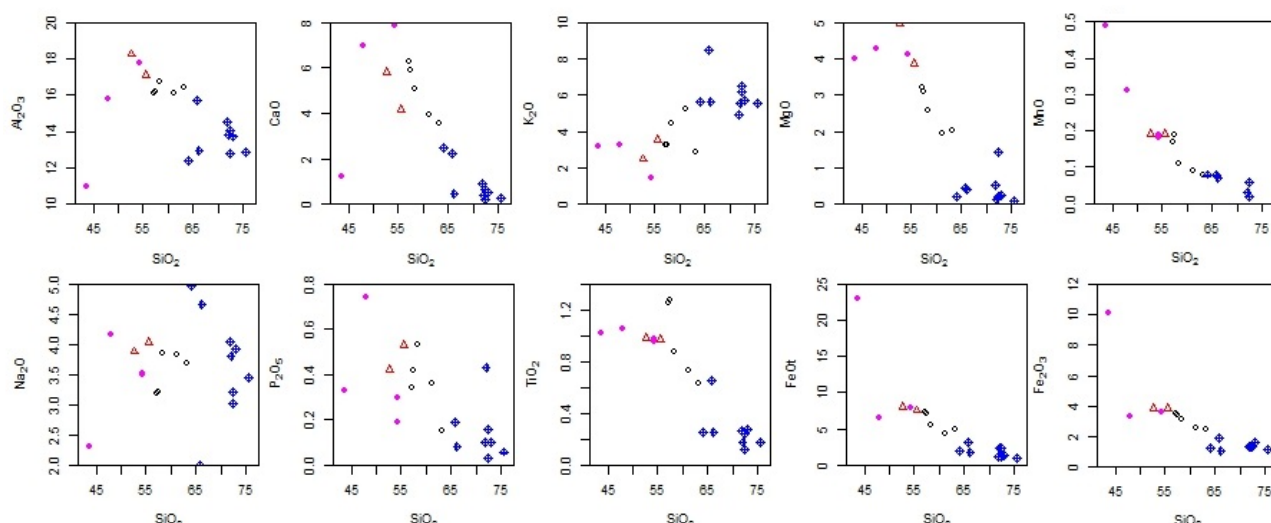
درونبوم‌ها دارای مرز مشخصی با گرانوودیوریت‌های میزان خود بوده و بیشتر بصورت گرد و بیضوی شکل حدود ۳–۵ سانتیمتر هستند. با توجه به بررسی‌های صحرایی و میکروسکوپی و ترکیب شیمیایی، درونبوم‌ها در حد مونزونیت تا مونزونیت هستند. بافت میکروسکوپی آنها ریزدانه‌ای، خال خال و نهان‌دانه پورفیری است. از کانی‌های اصلی درونبوم‌ها می‌توان به پلازیوکلاز، فلدسپار پتاسیم و بیوتیت اشاره کرد. پلازیوکلاز‌های ریز تا دانه‌درشت با فراوانی ۳۰–۳۵ درصد و فلدسپار پتاسیم حدود ۲۰–۲۵ درصد حجمی درونبوم را تشکیل داده و دارای میانبارهایی از زیرکن، آپاتیت، آمفیبول و کانی‌های کدر به صورت بافت خال خال است. بیوتیت به صورت ریز و درشت دانه ۳۰–۳۵ درصد، کوارتز حدود ۵ درصد، آمفیبول و کلینوپیروکسن حدود ۵–۱۰ درصد حجمی سنگ را تشکیل می‌دهند (شکل ۳ ج). در برخی موارد، همرشدی بلور کوارتز بصورت میخی با فلدسپار قلیایی بافت گرافیکی را ایجاد کرده است (شکل ۳ ح). بیوتیت‌ها گاهی دارای میانبارهایی از زیرکن، آپاتیت و کانی‌های کدر هستند. کانی‌های فرعی درونبوم‌ها شامل ریز بلورهای کدر، آپاتیت، زیرکن و اسفن بوده که بصورت پراکنده در فضای بین کانی‌ها و یا بصورت میانبار درون کانی‌های اصلی (فلدسپار پتاسیم، پلازیوکلاز و بیوتیت) دیده می‌شوند.

#### ویژگی سنگ‌شناسی و زمین‌شیمیایی توده‌های نفوذی

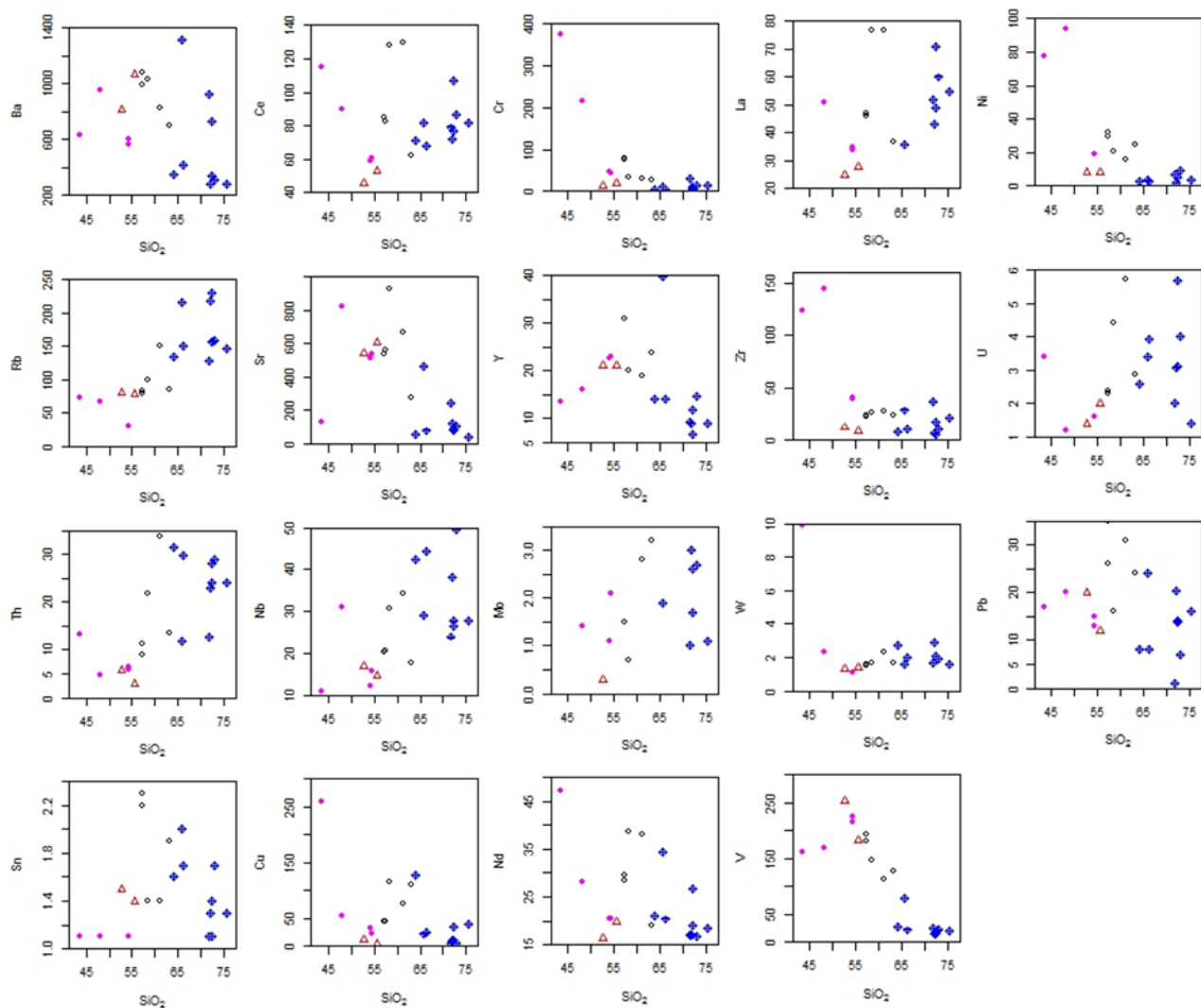
در نامگذاری توده‌های نفوذی منطقه از نمودار کاتیونی مرجع [۱۲] استفاده شده که نمونه‌ها در گستره گرانیت قلیایی، گرانیت و تعداد محدودی در گستره تونالیت، کوارتز مونزونیت، مونزوندیوریت، مونزونیت، سینودیوریت، گابرودیوریت و مونزوگابرو واقع شده‌اند (شکل ۴ الف). از نظر شاخص اشباع از



شکل ۴ الف- نمودار کاتیونی بر گرفته از مرجع [۱۳]، ب- گستره متاآلومین بیشتر نمونه‌های منطقه در نمودار مرجع [۱۴]، سری آهکی قلیایی با پتاسیم بالا و سری شوشوئنیتی نمونه‌های منطقه در نمودار مرجع [۱۶] و ت- سری ماغمایی در گستره آهکی قلیایی با پتاسیم بالا [۱۷] (دایره توخالی: گرانودیوریت‌ها، مثلث توخالی: درونبوم‌ها، دایره توپر: گابروها و لوزی تو خالی: گرانیت‌های قلیایی).



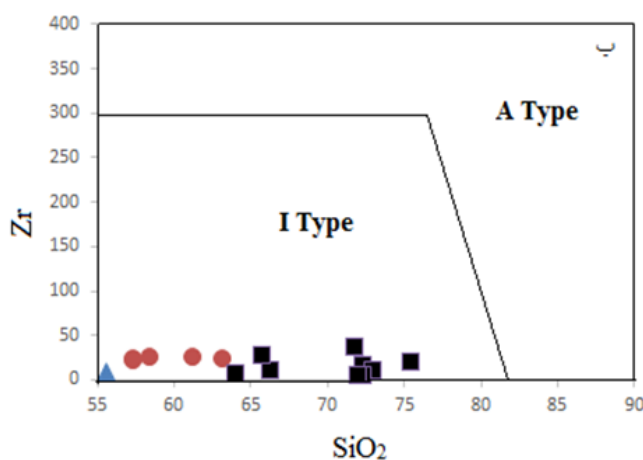
شکل ۵ روند تغییرات اکسیدهای اصلی نسبت به  $\text{SiO}_2$ .

شکل ۶ روند و تغییرات عناصر فرعی، جزئی و برخی عناصر کمیاب نسبت به  $\text{SiO}_2$  در توده‌های نفوذی قره بلاغ.

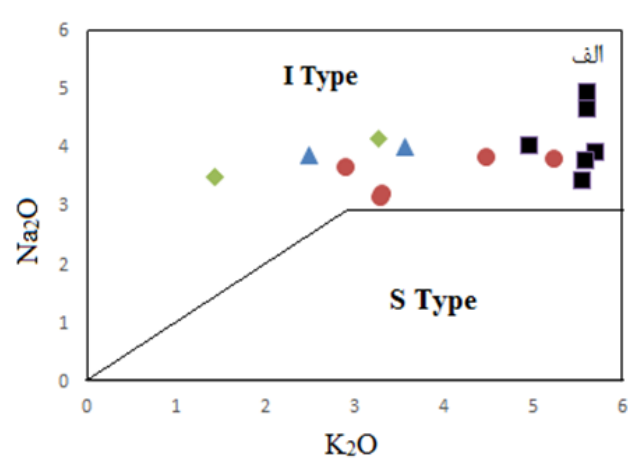
به [۲۳] همه در گستره گرانیت‌های نوع I قرار دارند (شکل ۷). افزون بر این نمودارها، از کانی‌شناسی و تغییرات عناصر نیز می‌توان برای تعیین نوع گرانیت‌وئیدها استفاده کرد. گرانیت‌وئیدهای منطقه به دلیل مقادیر پایین شاخص اشباع از اکسید آلومینیوم، حضور کانی‌های هورنبلند، مگنتیت، اسفن و نبود موسکوویت، ایلمنیت، گارنت و کریدیریت، از نوع I هستند [۲۴]. افزایش مقدار Th نسبت به  $\text{SiO}_2$  و مقدار کمابیش کم Rb/Sr در نمونه‌های منطقه، شاخص دیگری برای گرانیت‌وئید-های نوع I است [۲۵]. همچنین روند منفی تغییرات CaO [۱۵] و روند منفی تغییرات  $\text{P}_2\text{O}_5$  نسبت به  $\text{SiO}_2$  [۲۶] از دیگر ویژگی‌های گرانیت‌وئیدهای نوع I است.

کاهش مقدار Sr پیامد سازگاری این عنصر در پلاژیوکلازهای کلسیمی تبلور یافته در مرحله‌های نخستین تبلور ماقماست [۲۰]. همبستگی منفی V پیامد جدایش و شرکت این عنصر در ساختار کانی پیروکسن و پیامد جدایش بلورین زودهنگام اکسیدهای آهن و تیتانیم است [۲۱]. روند صعودی مقدار عناصر سنگدوست چون U، Th و Zr به دلیل بار الکتریکی و شعاع یونی به نسبت بالا، می‌تواند به جایگیری این عناصرها در فراورده‌های نهایی جدایش از قبیل بیوتیت، هورنبلند و فلدسپار قلیایی باشد [۲۲].

برای تعیین و تفکیک نوع گرانیت‌وئیدهای منطقه از نمودارهای مختلفی استفاده شد. گرانیت‌وئیدهای منطقه بر اساس نمودارهای  $\text{Na}_2\text{O}$  و  $\text{K}_2\text{O}$  نسبت به  $\text{SiO}_2$  [۱۵]



شکل ۷ جایگاه توده‌های نفوذی در گستره گرانیت‌های نوع I در نمودارهای الف- [۱۵] و ب- [۲۳].



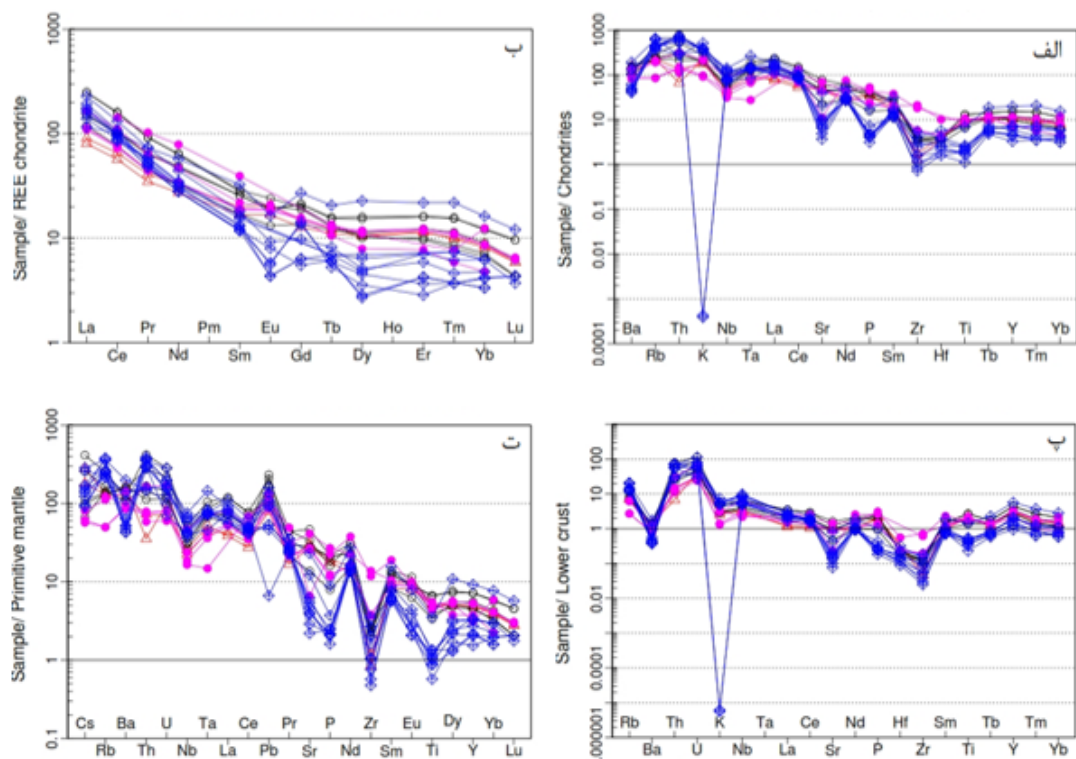
نمودار به حالت مسطح نزدیکتر می‌شود (شکل ۸ ب). این ویژگی از ویژگی‌های سنگ‌های پدید آمده در کمان‌های آتشفشاری با سرشت آهکی قلیایی در مرزهای فعال قاره‌ای است [۲۸، ۲۹]. همچنین الگوی روند تغییر فراوانی عناصر خاکی نادر در نمونه‌های مورد بررسی کمابیش موازی هم است. این نکته نشان دهنده همانندی فرایندهای ماقمایی و خاستگاه یکسان نمونه هاست [۳۷]. غنی‌شدگی بسیار عناصر LREE و الگوی شیبدار در اثر عواملی چون درجات کم ذوب‌بخشی منبع گوشه‌های، جدایش کانی‌های دارای عناصر خاکی نادر سنگین نسبت به عناصر خاکی نادر سبک در مرحله نخستین تبلور ماقما و آلایش ماقما توسط مواد پوسته‌ای رخ داده است [۳۸]. رسوب‌ها و سیال‌های وابسته به محیط‌های فروزانشی نیز موجب غنی‌شدگی غیرعادی عناصر کمیاب در این محیط‌ها می‌شود [۳۹]. همچنین وجود گارنت، اسپینل و یا آمفیبول (هورنبلند) در مواد خاستگاه ماقمایی مولد این سنگ‌ها در تهی شدگی عنصرهای خاکی نادر سنگین موثر است [۴۰]. عناصر خاکی نادر سنگین از قبیل Yb در ترکیب گارنت سازگار هستند و اگر گارنت در سنگ خاستگاه باشد، در مذاب پدیدآمده ناهنجاری آنها کاهش می‌یابد [۴۱]. در ماقمایی فلزی هورنبلند بعنوان حامل و تمرکز دهنده این عناصر منجر به غنی‌شدگی LREE/HREE می‌شود [۲۲]. همچنین الگوی مسطح در HREE سنگ‌ها می‌تواند پیامد وجود آمفیبول در سنگ خاستگاه بجامانده هنگام فرایند ذوب‌بخشی باشد [۴۲]. گفتنی است که حضور آمفیبول (هورنبلند) تنها در فشارهای کم امکان‌پذیر است و در صورت تولید ماقمایی مادر از پریدوتیت‌های گوشه‌ای، حضور این کانی به صورت بجامانده

در نمودار عنکبوتی، گرانیت‌وئیدهای مورد بررسی نسبت به ترکیب پیشنهادی برای کندریت [۲۷] بهنجار شده‌اند (شکل ۸ الف). در این نمودارها، غنی‌شدگی عناصر LILE (مانند K و Th، Ba، Rb) نسبت به تهی‌شدگی HFSE‌ها (مانند عناصر Ti، Ta، Zr، Nd) از ویژگی‌های مناطق فرورانشی چون کمان‌های آتشفشاری با سرشت آهکی قلیایی در مرزهای فعال قاره‌ای است [۲۸، ۲۹]. ناهنجاری مثبت عناصر U، Th، Pb، Cs و زریون (Zr) با ویژگی توده‌های نفوذی وابسته به قوس‌های قاره‌ای همخوانی دارند [۳۰، ۳۱]. این نوع تغییرات عناصر در توده‌های نفوذی، شاخص ماقمایی آهکی قلیایی و بیشتر به دلیل آلایش ماقما با مواد پوسته‌ای طی صعود است [۳۲]. تهی‌شدگی از Nb می‌تواند پیامد پیدایش ماقمای مادر از ذوب‌بخشی یک گوشه‌ای غنی شده باشد [۳۳]. تهی‌شدگی Ti نیز می‌تواند به دلیل حضور کانی‌های Ti‌دار در مواد بجامانده پس از ذوب و یا تهی‌شدگی سنگ خاستگاه ماقمای اولیه از این ترکیب‌ها روی داده باشد [۳۴] و همچنین می‌تواند به دلیل گریزندگی بالای اکسیژن باشد. اغلب ذوب فازهای بلورین Ti‌دار در گریزندگی اکسیژن بالا نیازمند دماهای بالاتر است. در نتیجه این امر یک محدودیت دمایی برای مذاب‌های پتسیمی تولید شده در پهنه‌های فرورانشی اعمال کرده و موجب ناهنجاری منفی Ti می‌گردد [۳۴]. ناهنجاری منفی Sr می‌تواند در اثر ورود آن به ساختار پلازیوکلازهای کلسیمی و تبلور بخشی این کانی‌ها باشد [۳۵]. در الگوی عناصر خاکی‌نادر (REE) بهنجار شده نسبت به LREE ترکیب کندریت [۳۶]، شب منفی مشخصی از عناصر HREE دیده می‌شود که بسمت HREE شب

کم این ناهنجاری منفی می‌تواند بدليل فراوانی کم گارنت در مواد خاستگاه، فرآیند جدایش و نیز آلایش ماقما با مواد پوسته‌ای باشد.

بر اساس نمودارهای عنکبوتی بهنجار شده نسبت به پوسته زیرین [۴۵]، تهی‌شدگی عناصر Hf, Sm, Y, Yb, Nb, Zr و Ti نتیجه ورود کمتر آنها به گوشته دگرنهاده طی فرورانش پوسته اقیانوسی و یا وجود گارنت ذوب نشده در خاستگاه است که برای کاهش مقدار HREEها (بويژه Y و Yb) در مذاب تولید شده بسیار موثر است. همچنین تهی‌شدگی این عناصر می‌تواند در ارتباط با ذوب گوشته بالایی هارزبورژیتی باشد که نسبت به گوشته مورب تهی شده‌تر است. غنی شدگی عناصر گوشته بالایی از طریق پوسته فرورونده و یا افزایش آنها در ماقما در اثر آلایش با مواد پوسته‌ای طی صعود ماقماست (شکل ۸ پ).

در نمودار عنکبوتی مرجع [۴۶]، ناهنجاری منفی Nb و تمرکز بالای عناصر متحرک چون Pb, K, Th, U (شکل ۸ ت) می‌تواند به عنوان شاخصی برای نقش پوسته قاره‌ای در آلایش ماقماهای اولیه در نظر گرفته شود [۲۲].



شکل ۸ الف-نمودار عنکبوتی عناصر کمیاب بهنجار شده نسبت به کندریت [۲۷]، ب-الگوی عناصر کمیاب و جزئی بهنجار شده نسبت به کندریت [۳۶]، پ-الگوی عناصر کمیاب بهنجار شده نسبت به پوسته زیرین [۴۵] و ت-الگوی عناصر کمیاب بهنجار شده نسبت به گوشته اولیه [۴۶].

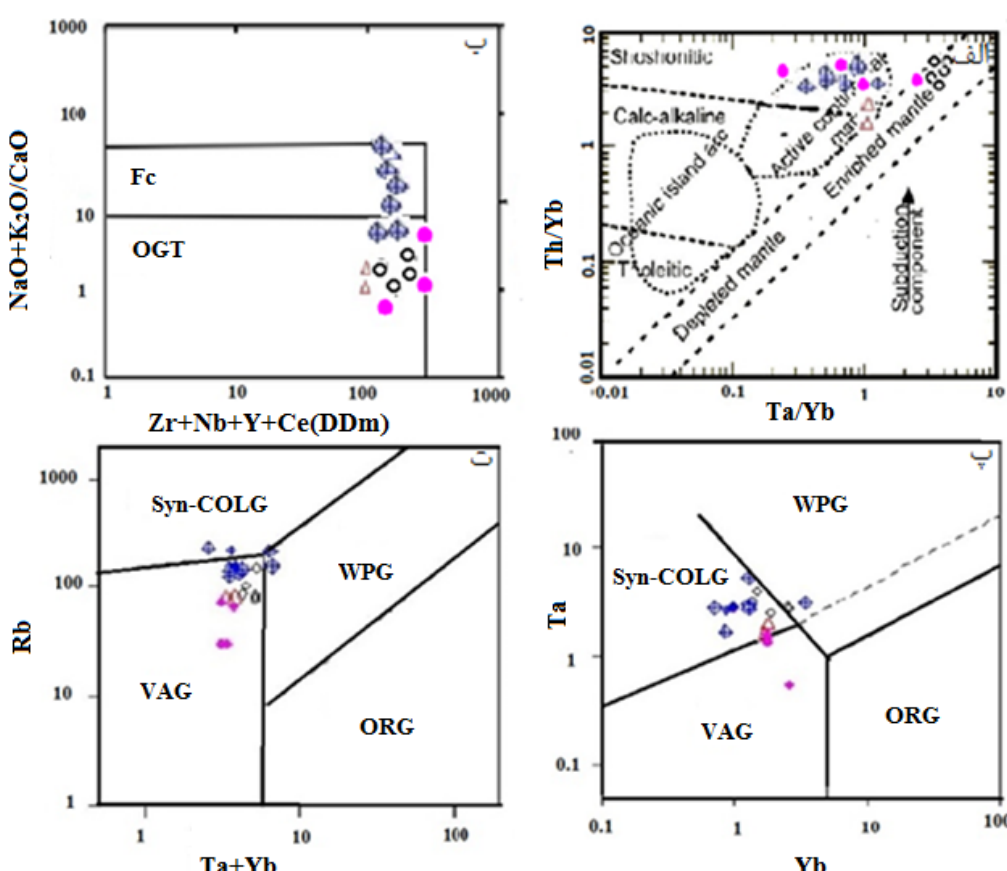
ممکن نیست [۴۳]. ناهنجاری کم Gd در این گروه از عنصرها، پیامد جدایش بلوری هومنبلند و اسفن است [۴۴]. حضور کانی‌های اسفن، زیرکن و مقادیر کمی آپاتیت در سنگ‌های مورد بررسی می‌تواند موجب تمرکز به نسبت بالای عناصر LREE شود. هر گونه افزایش یا کاهش عناصر REE در توده‌های نفوذی عامل زایشی دارد که به فرآیندهای چون نرخ و عمق ذوب، میزان آلایش، سرعت بالا آمدن و تبلور ماقما بستگی دارد. ناهنجاری Eu در ماقماهای فلزی بوسیله فلدسپارها و گریزنندگی اکسیژن کنترل می‌شود، به طوری که مقدار  $\text{Eu}^{+2}$  در پلازیوکلاز و فلدسپار پتانسیم افزایش می‌یابد. بنابراین جدایش فلدسپار در مذاب فلزی در نتیجه جدایش بلوری یا ذوب بخشی، موجب ناهنجاری منفی Eu در مذاب باقی‌مانده می‌شود [۲۲]. تفاوت مقدار Eu در توده‌های نفوذی منطقه، ناشی از تفاوت مقدار پلازیوکلاز، فلدسپار پتانسیم و شرایط اکسایشی آنهاست (شکل‌های ۸ ب و ت). همچنین الگوی عناصر REE همراه با ناهنجاری به نسبت منفی Eu می‌تواند پیامد تبلور پیشین و جدایش پلازیوکلاز کلسیمی، نسبت بالای گریزنندگی  $\text{CO}_2/\text{H}_2\text{O}$  و وجود گارنت در مواد خاستگاه ماقماهای مولد این سنگ‌ها باشد. البته شدت به نسبت

قوس‌های آتشفسانی است، قرار گرفتن برخی نمونه‌ها در گستره گرانیتوئیدهای درونصفحه‌ای (WPG) ممکن است به علت تغییرات پس از انجام دسته دگرسانی و دگرنهادی نمونه‌ها باشد.

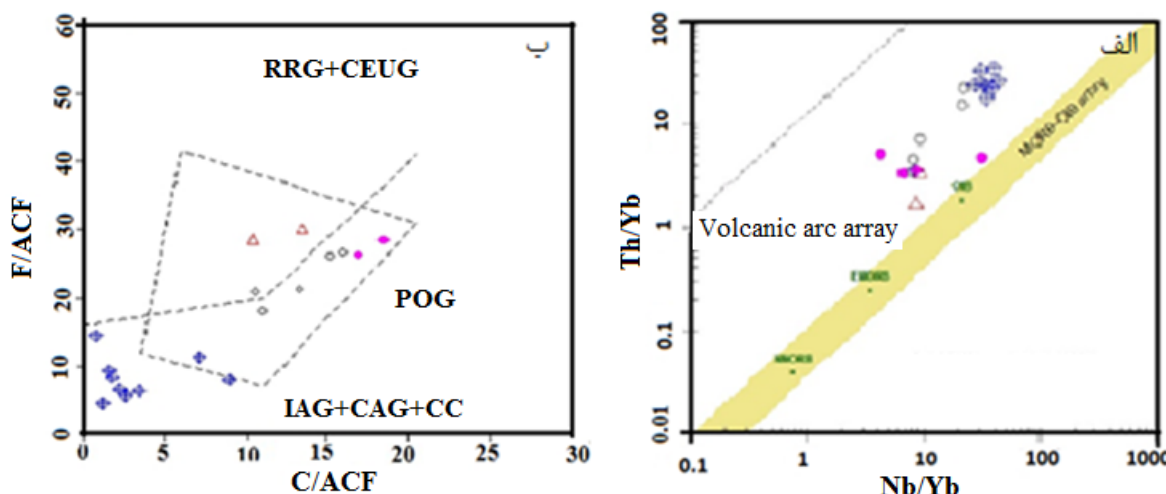
در رده‌بندی طراحی شده بر اساس عناصر کمیاب  $\text{Nb}/\text{Yb}$  و  $\text{Th}/\text{Yb}$  [۵۰]، نمونه‌ها در گستره گرانیت‌های قوس‌های آتشفسانی واقع هستند (شکل ۱۰ الف).  $\text{Yb}$  عامل بهنجارش  $\text{Nb}$  و  $\text{Th}$  در نظر گرفته می‌شود. بر پایه جایگاه و نیز شبیه‌ثابت این نمودار، مآگمای مادر نمونه‌ها چه بسا چار محلول-های آزاد شده از سنگ کره فرورو و یا آلودگی پوسته‌ای شده است. در رده‌بندی بر اساس عناصر اکسیدهای اصلی ( $\text{SiO}_2$ )،  $\text{CaO}, \text{K}_2\text{O}, \text{MgO}, \text{FeO}_{\text{T}}$ ) [۵۱]، نمونه‌های منطقه بیشتر در گستره گرانیتوئیدهای جزایر قوسی، کمان قاره‌ای و برخورد قاره‌ای (IAG+CAG+CCG) و برخی در گستره گرانیتوئیدهای پس از کوه‌زایی (POG) قرار دارند (شکل ۱۰ ب).

### جایگاه زمین‌ساختی

در رده‌بندی مرجع [۴۷] بر پایه عناصر کمیاب  $\text{Th}$  و  $\text{Ta}/\text{Yb}$ ، توده‌های نفوذی در گستره کرانه فعال قاره‌ای، آهکی قلیایی تا شوشونیتی و خاستگاه گوشته غنی شده همراه با اثر سیال‌های پهنه فرورانش قرار دارند (شکل ۹ الف). بر اساس نمودار عناصر  $(\text{Na}_2\text{O}+\text{K}_2\text{O})/\text{CaO}$  نسبت به  $\text{Zr}+\text{Nb}+\text{Y}+\text{Ce}$  (FG) قرار دارند. [۴۸]، گرانیت‌های قلیایی در گستره (FG) شامل انواع گرانیتوئیدهای مناطق کوه‌زایی (OGT) شامل گرانیت‌های  $\text{S}$  و  $\text{I}$  هستند که به روش جدایش بلوری تولید نشده‌اند. در این نمودار، گستره FG مربوط به گرانیت‌های  $\text{I}$  و  $\text{S}$  جدایش یافته است (شکل ۹ ب). در رده‌بندی مرجع [۴۹] بر پایه نمودار  $\text{Yb}$  نسبت به  $\text{Ta}$ ، نمونه‌ها در گستره محیط‌های همزمان با برخورد واقع شده‌اند (شکل ۹ پ). در نمودار  $\text{Ta}+\text{Yb}$  نسبت به  $\text{Rb}$  نمونه‌ها اغلب در گستره گرانیت‌های قوس‌های آتشفسانی قرار دارند (شکل ۹ ت). با توجه به اینکه سایر ویژگی‌های این گرانیتوئیدها مشابه گرانیتوئیدهای



شکل ۹ الف-نمودار مرجع [۴۷] که بر اساس آن، توده‌های نفوذی در کرانه فعال قاره‌ای و شوشونیتی تا آهکی قلیایی واقع شده‌اند، ب- گستره OGT توده‌های نفوذی در نمودار مرجع [۴۸] پ و ت- نمودارهای تفکیک محیط زمین‌ساختی گرانیتوئیدها بر اساس عناصر کمیاب [۴۹].



شکل ۱۰ گستره گرانیت‌های قوس‌های آتشفشاری توده‌های نفوذی در الف- رده‌بندی مرجع [۵۰] و ب- رده‌بندی مرجع [۵۱] با استفاده از عناصر اکسیدهای اصلی ( $\text{SiO}_2$ ,  $\text{CaO}$ ,  $\text{K}_2\text{O}$ ,  $\text{MgO}$ ,  $\text{FeO}_T$ )

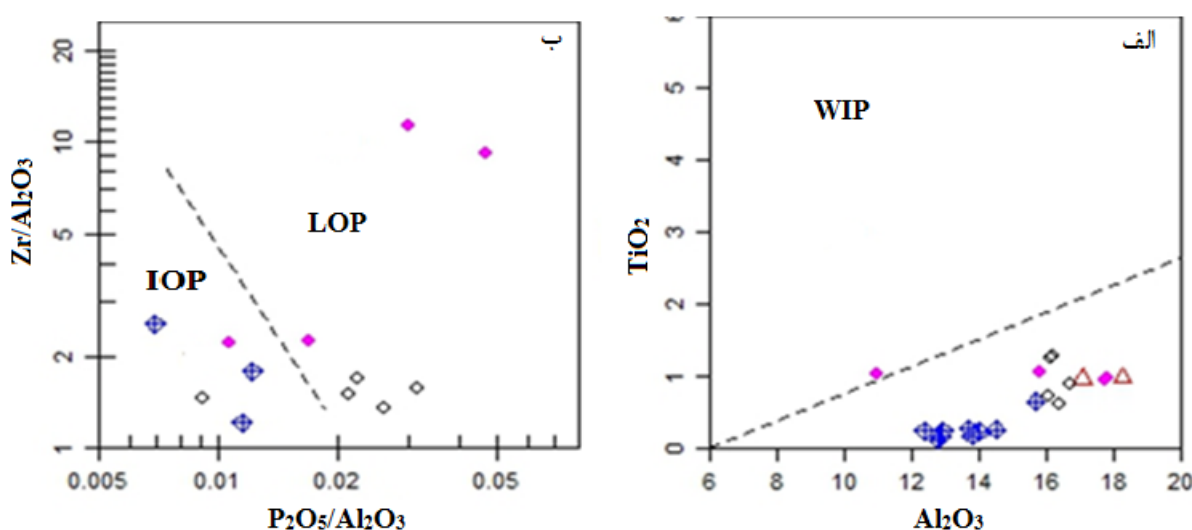
هضم و آلایش ماقمایی (AFC) در پیدایش این سنگ‌هاست (شکل ۱۳ الف). مشاهده صحرایی درونیوم‌ها در سنگ‌های گرانیتوئیدی، حالت منطقه‌بندی در بلورهای پلاژیوکلاز و نیز رشد بلورهای پلاژیوکلاز با ترکیب متفاوت پیرامون پلاژیوکلازهای اولیه گواهی بر رویداد فرایندهای هضم و آلایش ماقمایی در کنار فرایند جدایش بلورین هستند [۵۶]. جایگاه نمونه‌های بررسی شده در نمودار  $\text{La}/\text{Yb}$  نسبت به  $\text{La}$  نشان دهنده نقش فرایند جدایش بلورین در پیدایش این سنگ‌های گرانیتوئیدی است (شکل ۱۳ ب). همچنین تغییرات کم مقدار  $\text{La}/\text{Yb}$  نشان دهنده جدایش آنها از ماقمایی مادر یکسانی است [۵۷].

نسبت پایین  $\text{Th}/\text{Ta}$  (نزدیک به ۰/۱) نشان دهنده پیدایش ماقما در پهنه زمین‌ساختی کششی و نسبت بالا نشان دهنده پیدایش ماقما در پهنه زمین‌ساختی مرزهای همگرا و پهنه‌های فرورانش است [۵۸]. این نسبت در گرانیتوئیدهای بررسی شده از ۰/۹ تا ۰/۲۴ متغیر بوده و بیانگر پهنه‌های فرورانش است. همچنین از نسبت  $\text{Nb}/\text{Th}$  می‌توان بعنوان معیاری برای تفکیک نفوذی‌های واپسی به قوس‌های آتشفشاری استفاده کرد، در این نوع توده‌های نفوذی، مقدار  $\text{Nb}/\text{Th}$  در سنگ‌های آهکی قلیایی قوی‌تر از ۳ است [۵۹]. میانگین نسبتهای  $\text{Nb}/\text{Th}$  در توده‌های نفوذی کمتر از ۳ بوده که تائیدی بر محیط قوی این توده‌های نفوذی است.

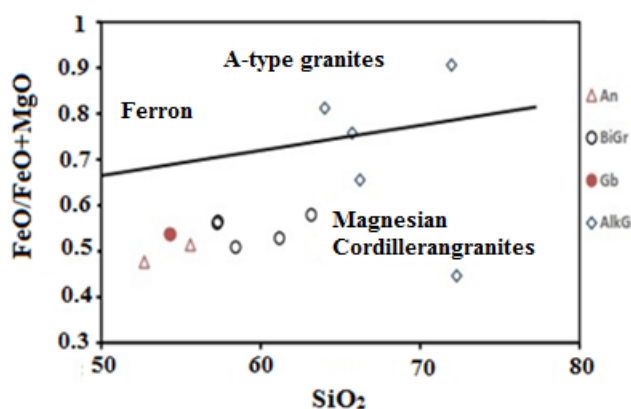
نمودارهای مرجع [۵۲] برای تفکیک قوس‌های ماقمایی کرانه فعال قاره‌ای و قوس‌های ماقمایی پس از برخورد ارائه شده‌اند. در نمودار  $\text{Al}_2\text{O}_3/\text{TiO}_2$  نسبت به  $\text{Nb}/\text{Yb}$ ، نمونه‌ها در گستره قوس‌های آتشفشاری قرار دارند (شکل ۱۱ الف). همچنین بر اساس نمودار  $\text{Zr}/\text{Al}_2\text{O}_3$  نسبت به  $\text{P}_2\text{O}_5/\text{Al}_2\text{O}_3$  نمونه‌ها در گستره قوس‌های اقیانوسی آغازین (IOP) و تأخیری (LOP) واقع هستند (شکل ۱۱ ب).

### بحث

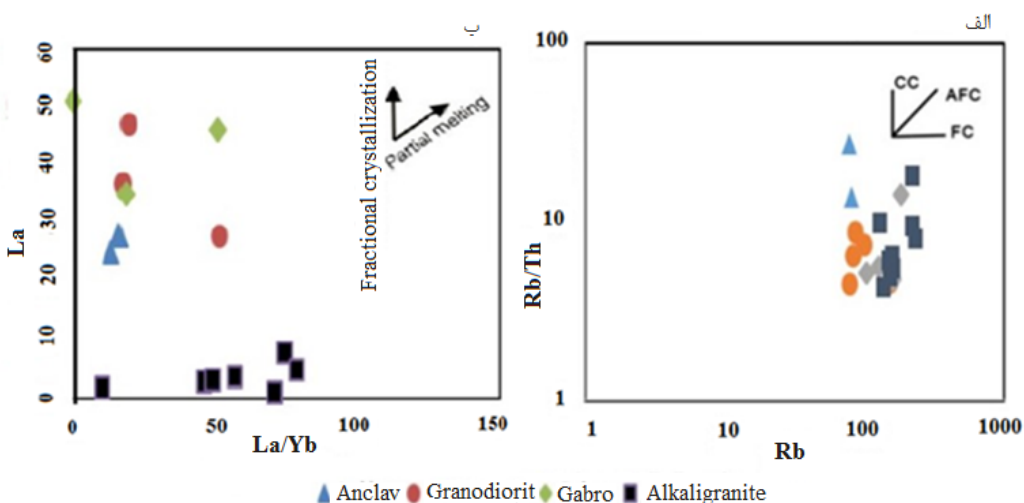
بر اساس نمودارهای  $\text{SiO}_2/\text{FeO}/\text{MgO}$  [۵۳] در گستره گرانیت‌های کردیلرایی واقع هستند (شکل ۱۲). گرانیت‌های کردیلرایی ترکیب منیزین نشان می‌دهند که در شرایط اکسایشی دگرگون شده‌اند. این نوع گرانیت‌ها غنی‌شدگی جزئی از آهن نشان می‌دهند، از این رو می‌توان گفت که دگرگونی ماقمایی مادر این گرانیت‌ها در شرایط اکسایشی و گریزندگی اکسیژن ( $f\text{O}_2$ ) بالا صورت گرفته است، در حالی که گرانیتوئیدهای آهن‌دار دچار جدایش گستردگی در  $f\text{O}_2$  پایین می‌شوند. از نظر جایگاه زمین‌ساختی، آنها به مقادیر مختلف در بالای پهنه فرورانش جایگیری کرده‌اند. فرآیند تفکیک در این گرانیتوئیدهای تبلور جدایشی شدید و آمیختگی ماقمایی است [۵۴]. همچنین الگوی خطی با شبیه مثبت در نمودار تغییرات نسبت عنصرهای ناسازگار  $\text{Rb}/\text{Th}$  در  $\text{Rb}$  برابر [۵۵] نشان دهنده نقش فرایند تبلور بخشی همراه با



شکل ۱۱ جایگاه توده‌های نفوذی در نمودارهای مرجع [۵۲] برای تفکیک فعالیت ماقمایی کرانه‌های فعال قاره‌ای از پهنه‌های آتشفسانی درون صفحه‌ای: الف- در گستره قوس‌های آتشفسانی توده‌های نفوذی و ب- در گستره IOP و LOP.



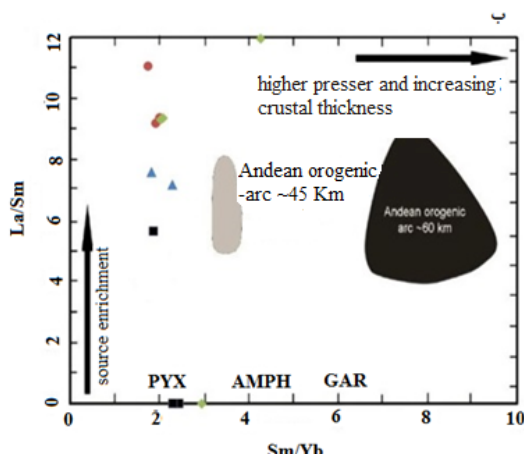
شکل ۱۲ گستره گرانیت‌های کردیلرایی در نمودار مرجع [۵۳].



شکل ۱۳ شناسایی فرایندهای گوناگون درگیر در پیدایش سنگ‌های گرانیتوئیدی با استفاده از الف- نمودار Rb/Th نسبت به Rb [۵۵] و ب- نمودار La/Yb نسبت به La [۵۷].

بیوتیت گرانیت، گرانیت قلیایی) و درونبومها ترکیب مونزودیوریتی و مونزونیتی دارند. توده‌های نفوذی، سرشت ماقمایی متاآلومین و آهکی قلیایی با پاتاسیم بالا و درونبومها سرشت آهکی قلیایی دارند. روند تغییرات عناصر اصلی و کمیاب ناسازگار نسبت به سیلیس وابسته به محیط‌های کرانه فعال قاره‌ای را می‌توان به غنی‌شدگی مواد گوشه‌ای و یا آلایش پوسته‌ای و هضم توده‌ها با هم نسبت داد که نشانگر پیوستگی زمین‌شیمیایی ترکیب‌های گوناگون سنگی در این منطقه است. ماقمای سازنده این سنگ‌ها در پی فرایند جدایش بلورین و نیز به دنبال فرایندهای آلودگی پوسته‌ای منجر به پیدایش طیف سنگی گسترده‌ای شده است.

نمودارهای ارائه شده و ویژگی‌های شیمیایی توده‌های نفوذی همخوانی بسیاری با گرانیت‌وئیدهای نوع I دارند. هرچند که اظهار نظر جامع درباره خاستگاه ماقما نیازمند بکارگیری داده‌های ایزوتوپی است، اما تهی شدگی از Nb و عنصر با شدت میدان بالا و غنی شدگی LILE‌ها و شیب یکسان و منفی در روند عناصر خاکی نادر گواهی بر خاستگاه یکسان و پیدایش ماقمای مادر از ذوب‌بخشی یک گوشه‌های غنی شده است. همچنین تمرکز عنصر به شدت ناسازگار La و عنصر کمتر سازگار Sm، ترکیب کلی ناحیه خاستگاه را اسپینل و گارنت‌دار نشان می‌دهد. بر اساس نسبت عناصر کمیاب و فرعی و نیز نمودارها، پیدایش ماقمای مادر توده‌های نفوذی در محل پشته کمانی بالغ در محیط قوس‌های آتشفسانی و اواخر برخورد تا بعد از برخورد صورت گرفته است.



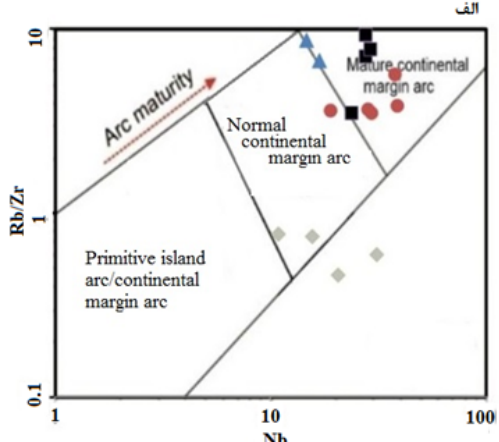
شکل ۱۴ ب- میزان بلوغ کمان‌های آتشفسانی بر پایه نمودار  $Rb/Zr$  نسبت به  $La/Sm$  [۶۰] برای ارزیابی کلی ستبرای پوسته ای قاره‌ای در محل پیدایش کمان‌های آتشفسانی پدید آمده در مزه‌های پوسته‌های قاره‌ای [۶۱].

میزان بلوغ کمان‌های آتشفسانی را می‌توان با بکارگیری نمودار  $Nb$  نسبت به  $Rb/Zr$  بدست آورد [۶۰]. چنان که در شکل ۱۴ الف دیده می‌شود، نمونه‌های گرانیت‌وئیدی در گستره کمان‌های مرز قاره‌ای بالغ جای گرفته‌اند. نمودار  $Sm/Yb$  نسبت به  $La/Sm$  [۶۱] نیز ستبرای کمتر از ۴۵ کیلومتری پوسته قاره‌ای (پوسته قاره‌ای با ستبرای کم) و نیز گوشه‌های کمابیش غنی شده در محل خاستگاه ماقمای مادر آنها را نشان می‌دهد (شکل ۱۴ ب).

غنی شدگی کمتر و الگوی مسطح HREE‌ها و غنی شدگی بیشتر در الگوی LREE‌ها در نمونه‌های بررسی شده با گارنت باقی مانده در خاستگاه ماقما توجیه شدنی است. همچنین از آنجا که تمرکز عنصر به شدت ناسازگار La و عنصر کمتر Sm با باقی ماندن اسپینل و گارنت در خاستگاه ماقما (سنگ مادر توالی گوشه‌ای) کنترل می‌شود، این نوع تمرکز عناصر ترکیب کلی ناحیه خاستگاه را نشان می‌دهد [۶۲]. عدد منیزیوم ( $Mg\#$ ) شاخص خوبی برای شناسایی ماقمای جدایش یافته گوناگون از ذوب پوسته زیرین و یا اسلب فرورو ( $Mg\# < 40$ ) در مقایسه با ماقمای پدیدآمده از ذوب سنگ‌های مادر گوه گوشه‌ای ( $Mg\# > 40$ ) بدون توجه به درصد ذوب‌بخشی است [۶۳]. با توجه به جدول ۱، مقدار بالای  $Mg\#$  (بیش از ۴۰) نشان دهنده پیدایش ماقمای مادر آنها در بی ذوب‌بخشی گوه گوشه‌ای است.

#### برداشت

برپایه بررسی‌های سنگنگاری و زمین‌شیمیایی توده‌های نفوذی منطقه، سنگ‌های گوناگون (گابرودیوریت، گرانودیوریت،



شکل ۱۴ الف- میزان بلوغ کمان‌های آتشفسانی بر پایه نمودار  $Rb/Zr$  نسبت به  $La/Sm$  [۶۰] برای ارزیابی کلی ستبرای پوسته ای قاره‌ای در محل پیدایش کمان‌های آتشفسانی پدید آمده در مزه‌های پوسته‌های قاره‌ای [۶۱].

جدول ۱ نتایج تجزیه سنگ‌های گرانیتوئیدی منطقه (اکسیدهای عنصرهای اصلی بر حسب درصد وزنی و با روش XRF و عنصرهای فرعی و کمیاب بر حسب ppm و با روش ICP-MS)

Sample	AN-01	AN-02	DH-01	DH-04	K6	K7	K6-02	DH-09	Gb b-3	GB-01	GB-02	DH-15	DH-11	DH-10	DH-06	AmG 1	AmG 2	AmG 3	AmG 4	AmG
SiO <sub>2</sub>	52.69	55.09	61.17	58.42	57.26	53.17	57.22	48.11	43.05	54.27	54.27	72.27	72.94	71.71	75.43	54.1	66.22	72.79	71.97	55.74
Al <sub>2</sub> O <sub>3</sub>	18.42	17.9	16.10	16.71	16.13	16.39	16.22	15.82	10.96	17.78	17.81	14.2	13.7	14.52	12.85	17.94	12.78	13.8	15.9	15.49
CaO	5.83	4.19	3.92	5.0	6.26	3.45	5.92	6.95	1.24	7.93	7.86	6.65	6.55	6.88	6.27	4.44	6.20	6.40	6.24	6.48
Fe <sub>2</sub> O <sub>3t</sub>	9.1	8.56	5.4	6.26	8.13	5.55	7.96	7.25	26.42	9.0	9.0	1.41	1.61	1.22	1.12	2.17	1.89	2.35	2.67	2.48
FeO	4.54	4.12	2.2	2.7	4.1	2.8	4.0	3.5	13.97	4.8	4.8	Nd	Nd	Nd	Nd	0.91	0.8	1.17	1.16	1.44
Fe <sub>2</sub> O <sub>3</sub>	3.87	3.82	2.5	3.1	3.5	2.6	3.4	3.0	1.9	3.05	3.05	1.41	1.61	1.22	1.12	1.21	1.06	1.29	1.28	1.91
K <sub>2</sub> O	2.49	3.57	5.24	4.47	3.28	2.9	3.2	3.27	3.22	1.44	1.44	6.52	6.69	4.96	5.05	5.61	6.18	5.58	5.85	5.45
MgO	7.98	3.89	1.97	2.6	3.21	7.3	3.8	3.8	3.0	7.14	7.13	6.22	6.24	6.57	6.57	7.21	6.42	7.15	7.17	6.46
MnO	0.19	0.19	0.9	0.11	0.17	0.18	0.19	0.11	0.49	0.18	0.19	<0.5	<0.5	<0.5	<0.5	0.18	0.12	0.13	0.18	0.13
Na <sub>2</sub> O	3.88	4.03	3.82	3.86	3.18	3.69	3.21	4.15	2.22	3.51	3.51	3.22	3.92	4.05	3.44	4.96	4.66	3.02	3.8	2.1
P <sub>2</sub> O <sub>5</sub>	0.42	0.53	0.36	0.53	0.34	0.15	0.42	0.74	0.33	0.19	0.30	0.16	0.10	0.16	0.10	<0.5	0.18	0.13	0.43	0.19
TiO <sub>2</sub>	0.98	0.97	0.73	0.88	1.25	0.83	1.27	1.05	1.02	0.95	0.97	0.24	0.28	0.27	0.18	0.25	0.12	0.18	0.65	0.18
LOI	1.1	1.28	1.38	1.0	0.68	1.77	0.98	7.89	4.33	0.81	0.42	1.16	0.96	1.64	1.00	4.41	1.11	1.20	0.85	0.86
Ag	<0.1	<0.1	<0.1	<0.1	<0.1	<0.1	<0.1	<0.1	0.2	0.50	<0.1	<0.1	<0.1	<0.1	<0.1	<0.1	<0.1	<0.1	<0.1	<0.1
Al	9.0-8.69	18.7935	75.82	18.8852	9.7998	18.794	18.721	7.988	58.00	8.9923	18.493	7.278	67.81	7.9114	68.12	65.046	68.470	7.676	7.03	75.268
As	8	4.5	1.62	1.0	0.57	4.9	5.1	3	1.03	3.6	3.7	1.9	1.2	0.8	2.24	5.1	2.9	5.4	8.8	
Ba	8.15	1.68	8.3	1.3	9.93	7.2	1.83	9.52	6.33	6.0	5.67	7.39	3.12	9.27	2.87	3.72	3.72	2.87	3.12	
Be	2.2	2.5	2.8	2.6	2.7	2.7	2.7	2.7	2	1.2	1.2	2.3	5.9	2.3	4	6.3	6.9	6.1	1.3	
Bi	<0.1	<0.1	<0.1	<0.1	<0.1	<0.1	<0.1	<0.1	<0.1	<0.1	<0.1	<0.1	<0.1	<0.1	<0.1	<0.1	<0.1	<0.1	<0.1	
Cd	0.1	<0.1	0.5	0.1	<0.1	0.2	0.2	<0.1	0.3	0.2	0.2	<0.1	<0.1	<0.1	0.3	1.3	<0.1	<0.1	<0.1	
Ce	4.6	5.2	1.3	1.28	8.5	6.2	8.3	9.	11.5	6.1	5.9	1.07	8.7	7.9	8.3	7.1	6.8	7.7	7.2	
Co	2.38	17.9	13.4	17.8	19.8	8.5	19.1	27.6	12.8	27.5	26.1	<1	2	2	<1	1	1.3	0.5	0.7	9.9
Cr	1.4	2.1	2.0	2.5	2.6	2.9	2.9	2.16	2.76	4.4	4.6	1.	1.4	2.2	1.3	5	4	7	11	
Cs	0.59	3.8	8.7	0.5	2.3	1.4	2.1	1.7	<0.5	1.2	1.3	2.4	2	2.1	1.9	5.5	2.8	2.9	3.6	
Cu	11	5	7.6	11.0	4.5	11.0	4.5	5.3	2.59	3.1	1.	6	5	3.9	12.7	24	3.53	1.05	21	
Dy	7.78	3.26	3.22	3.2	5.6	3.26	3.26	3.05	3.05	3.8	3.8	1.65	1.65	0.97	0.87	2.77	2.06	1.15	1.74	7.73
Er	2.27	2.24	2.1	2.03	3.4	2.09	2.27	1.83	Nd	2.58	2.27	1.24	1.49	0.89	0.89	Nd	0.6	0.77	4.09	
Eu	1.23	1.52	1.45	1.77	1.38	0.79	1.41	1.04	Nd	1.39	1.35	0.68	0.32	0.59	0.32	Nd	0.41	0.43	1.21	
Ga	15.4	17.9	16.5	17.9	17.7	19	18.9	16.9	18.3	17.1	17.4	16.9	19.3	17.8	19.7	17.5	19.3	18.6	17.9	
Gd	2.2	3.99	4.91	5.15	5.84	3.05	5.02	3.79	Nd	4.7	3.92	2.53	1.64	1.43	1.85	4	Nd	2.71	3.24	7.03
Hf	<0.5	<0.5	0.82	0.73	0.79	0.6	0.78	0.72	Nd	0.87	0.89	0.7	0.54	0.8	0.52	Nd	Nd	0.22	0.44	1.15
In	<0.5	<0.5	<0.5	<0.5	<0.5	<0.5	<0.5	<0.5	Nd	<0.5	<0.5	<0.5	<0.5	<0.5	<0.5	Nd	Nd	0.02	<0.01	<0.5
La	2.5	2.8	2.7	2.7	2.7	4.6	5.1	Nd	2.5	3.4	7	6.0	5.2	5.5	Nd	4.88	4.73	3.6		
Li	1.5	11	4.3	3.2	1	9	2	4.8	Nd	9	8	1	3	1	5	Nd	Nd	3.9	3.2	
Lu	0.19	0.19	-1.4	-1.4	-1.3	-0.11	-0.11	Nd	0.11	-0.3	<0.1	-0.12	<0.1	<0.1	Nd	Nd	1.14	-1.19		
Mo	0.3	<0.1	2.8	0.7	1.5	2.2	1.5	1.4	Nd	2.1	1.1	2.8	2.7	1	1	Nd	Nd	1.7	3	
Nb	16.8	14.7	3.41	3.0	2.4	17.7	2.0	2.1	10.9	15.6	12.2	27.9	49.5	3.2	27.8	44.4	44.4	38.1	39.2	
Nd	16.4	19.7	3.8	3.8	3.8	29.0	19.1	28.5	32.2	27.3	20.3	2.67	16.8	15.9	18.4	20.3	18.9	17	34.4	
Ni	8	8	16	21	30	2.5	32	9.4	7.8	19	19	5	9	7	4	2	<2	2	4	
P	15.92	17.2	14.43	19.25	18.82	17.15	19.28	22.24	2.09	11.11	10.59	19.3	22.7	3.36	22.0	19.6	18.8	14.5	19.0	8.1
Pb	20	12	21	16	26	24	35	20	17	13	15	14	7	1	16	8	8	13.9	20.3	
Pr	4.26	5.0	11.38	11.2	7.95	5.89	7.83	12.03	5.02	5.42	9.01	6.28	5.81	6.41	7.21	7.05	6.62	5.93	8.95	
Rb	8	7.8	1.01	9.9	8.3	8.6	9.7	9.7	2.0	1.5	1.5	1.5	1.5	1.5	1.5	1.5	1.5	1.5	1.5	
S	2.28	2.7	1.9	1.4	1.8	2.23	1.82	1.82	1.82	1.6	1.4	6	5	<0.5	<0.5	<0.5	5	1.5	1.5	
Sb	<0.5	<0.5	2.9	0.6	<0.5	<0.5	<0.5	<0.5	Nd	1.4	2.2	<0.5	<0.5	<0.5	<0.5	0.6	3	1.1	0.8	0.7
Se	18.9	18	2.7	9.6	16	11.1	16.3	14.4	15.8	20.3	19.5	22	1.1	1.5	1.4	1.2	1	<1	9.8	
Se	0.82	<0.5	0.54	<0.5	1.7	0.56	0.99	0.62	0.55	0.73	0.96	0.65	<0.5	<0.5	<0.5	<0.5	0.69	0.1	1.14	
Sm	3.29	3.9	5.44	5.65	5.02	2.35	5.01	2.7	7.69	7.76	7.66	3.53	2.29	2.36	2.05	2.18	3	2.6	2.26	
Sn	1.5	1.8	1.4	2.2	1.9	2.3	1.1	1.1	1.1	1.1	1.1	1.1	1.1	1.1	1.1	1.1	1.1	1.1	1.1	
Sr	554.9	6.84	6.84	9.3	52.55	77.27	55.75	52.18	13.2	54.0	51.21	1.0	1.0	1.0	1.0	1.0	1.0	1.0	1.0	1.0
Ta	1.94	1.61	2.9	3.18	2.76	2.65	2.67	2.72	0.55	1.07	1.34	2.79	5.37	2.75	2.78	2.71	2.95	1.7	2.08	
Tb	0.53	0.58	0.61	0.63	0.75	0.57	0.5	0.64	0.6	0.59	0.59	0.39	0.33	0.29	0.23	0.23	0.28	0.18	0.18	
Te	<0.1	<0.1	<0.1	<0.1	<0.1	<0.1	<0.1	<0.1	<0.1	<0.1	<0.1	<0.1	<0.1	<0.1	<0.1	<0.1	<0.1	<0.1	<0.1	
Th	0.58	2.85	2.26	2.19	11.23	13.47	9.1	12.6	9.22	5.87	22.4	2.07	22.0	1.17	2.76	2.4	3.14	2.974	2.81	22
Ti	61.16	62.46	47.9	56.77	78.71	4.5	8.0	11.0	6.67	5.29	6.18	5.87	12.24	10.91	16.39	1.44	12.35	12.99	9.92	10.9
Tl	0.34	0.31	0.73	0.46	0.21	0.57	0.31	0.42	0.6	0.12	0.14	0.77	0.59	0.81	0.85	1.1	0.94	1	0.86	
Tm	0.33	0.22	0.28	0.26	0.51	0.37	0.5	0.19	0.25	0.26	0.35	0.15	0.2	<0.1	<0.1	<0.1	<0.1	<0.1	<0.1	
U	1.4	2	5.7	2.4	2.4	2.8	2.3	1.2	2.4	1.6	1.6	3.1</								

- [10] Nazarinia A, Mortazavi M, Arvin M, Poosti M., "Thermobarometry of Mamzar granitoid body, and its tectonomagmatic implication", Iranian Journal of Crystallography and Mineralogy 27 (1) (2019) 123-134.
- [11] Aminazar R., Ghadirzadeh A., "1:100000 Geological map of Hashtrud, Scale series sheet 5464", Geological Suvey of Iran, Tehran (1993) (in Persian).
- [12] Asadian O., Amini-Fazl A., Khodabandeh A., "1:100000 Geological map of Qarachaman, series sheet 5364", Geological Survey of Iran, Tehran (1995) (in Persian).
- [13] Dela Roche H., Letterrier J., Grand-Cluade P., Marchel M., "A classification of volcanic and plutonic rocks, using RI-R2 diagrams and major elements analyses, its relationship with current nomenclature", chem. Geol. 29, 183-210.
- [14] Shand S. J., "Eruptive rocks. Teir genesis, composition, classification, and their relation to ore-deposites with a chapter on meteorite", John Wiley & Sons, New York, US (1943).
- [15] Chappel B. W., White A. J. R., "I-and S type granites in the Lachlan Fold belt. Transactions of the Royal Society of Edinburg", Earth Science 83 (1992) 1-26.
- [16] Peccerillo A., Taylor S. R., "Geochemistry of Eocene calc-alkaline volcanic rocks from the Kastamonu area (northern Turkey)", Contributions to Mineralogy and Petrology 58 (1976) 63-81.
- [17] Hastie A. R., Kerr A. C., Pearce J. A., Mitchell S. F., "Classification of altered Volcanic arc rocks using immobile trace elements: development of the th-Co discrimination diagram", Journal of Petrology 48 (12) (2007) 2341-2357.
- [18] Mason B., Moore C.B., "Principles of Geochemistry", John Wiley and Sons: New York (1982).
- [19] Wyllie T., Sekinem, "The formation of mantle phlogopite in subduction zone hybridization", Contributions to Mineralogy and Petrology, 79 (1982) 375-380.
- [20] Ginibre C., Wörner G., "Variable parent magmas and recharge regimes of the Parinacota magma system (N. Chile) revealed by Fe, Mg and Sr zoning in plagioclase", Lithos 98 (4) (2007) 118-140.

## قدردانی

نویسنده‌گان از نظرات ارزشمندان داوران و زحمات هیئت تحریریه قدردانی می‌نمایند.

## مراجع

- [1] Behrouzi, A., Amini Fazl, A., Amini Azar, R "Geological map of Bostanabad, Scale 1:100000, series sheet 5265", Geological Suvey of Iran, Tehran (in Persian)", (1997).
- [2] Emami M.H., Sadeghi M.M., Omrani S.J. "Magmaticmap of Iran. Scale 1:1000000", Geological Survey of Iran, (1993).
- [3] Mostofizadeh B., "Geochemistry and Petrology of Igneous complex from South of Bostanabad (East Azarbaijan)", Msc thesis, University of Tehran, Tehran, Iran (1997) (in Persian).
- [4] Hojjati A., "mineralization and alteration associated of subvolcanic masses from Zarrin Ghoba village of Gharabolagh area", Msc thesis, University of Tabriz,Tabriz, Iran (2011) (in Persian).
- [5] Zamany A., "Petrological studies of volcanic rocks from North of Aghabolagh and West of Hashtrud", Msc thesis, University of Tabriz, Tabriz, Iran (2014) (in Persian).
- [6] Sohrabi Gh., Rezai M., Nasiri M., "IOCG Mieralization in Bostanabad-Meyaneh metallogenetic Zone (NE Hashtrud)", The 34<sup>th</sup> National and the 2<sup>nd</sup> Internatinal Geosciences congress, Tehran, Iran 34 (2016).
- [7] Aslane borje M., "Petrology, Geochemistry and tectonic-magmatic setting of granitoid body of northeast of Hashtrud (Dizaj Ali Gholi Bieck)", Msc thesis, University of Tabriz, Tabriz, Iran (2017) (in Persian).
- [8] Khalilzadeh H, Alipour S, Abedini A., "Geochemistry, tectonic setting and magmatic origin of the mineralized stock in SahebDivan porphyry copper system, NW Iran", Iranian Journal of Crystallography and Mineralogy 27 (4) (2019) 781-794.
- [9] Kamali A, Moayyed M, Amel N, Hosainzadeh M.R., "Mineralogy and mineral chemistry of quartz-dioritic dykes of Sungun Mo- Cu porphyry deposit (NW Iran)", Iranian Journal of Crystallography and Mineralogy 25 (1) (2017) 123-138.

- [33] Kurt H., Asan K., Ruffet G., "The relationship between collision-related calc-alkaline and within-plate alkaline volcanism in the Karacadag area (Konya-Turkey, Central Anatolia)", *Chemie der Erde* 68 (2) (2008) 155-176.
- [34] Pearce A. J., Parkinson I. J., "Trace element models for mantle melting: application to volcanic arc petrogenesis", *Geological Society* 76 (1993) 373-403.
- [35] Arjmandzade R., Karimpour M.H., Mazaheri S.A., Santos J.F., Medina J.M., Homam S.M., "Sr-Nd isotope geochemistry and petrogenesis of the Chah-Shaljami granitoids (Lut Block, Eastern Iran)", *Journal of Asian Earth Sciences* 41 (2011b) 283-296.
- [36] Boynton W.V., "Cosmochemistry of the rare earth elements: meteorite studies, in rare earth element geochemistry", Elsevier, Amsterdam (1984).
- [37] Kharbish S., "Geochemistry and magmatic setting of Wadi El-Markh island-arc gabbro-diorite suite, central Eastern Desert, Egypt", *Chemie der Erde/Geochemistry* 70 (3) (2010) 257-266.
- [38] Rollinson H. R., "Using geochemical data: evaluation, presentation, interpretation", Longman Science and Technical, London, UK (1993).
- [39] Floyd P. A., Yaliniz M. K., Goncuoglu M. C., "Geochemistry and petrogenesis of intrusive and extrusive ophiolitic plagiogranites, Central Anatolia Crystalline Complex, Turkey", *Lithos* 42 (1998) 225-241.
- [40] Almeida M. E., Macambira M. J. B., Oliveira E. C., "Geochemistry and zircon geochronology of the I-type high-K calc-alkaline and S-type granitoid rocks from southeastern Roraima, Brazil: Orosirian collisional magmatism evidence (1.97-1.96 Ga) in Central portion of Guyana Shield", *Precambrian Research* 155 (2) (2007) 69-97.
- [41] Kampunzo A. B., Tombale A. R., Zhai M., Bagai Z., Majaule T., Modisi M. P., "Major and trace element geochemistry of plutonic rocks from Francistown, NE Botswana: evidence for a Neoarchaean continental active margin in the Zimbabwe craton", *Lithos* 71 (2-4) (2003) 431-460.
- [21] Wilson M., "Igneous petrogenesis: A global tectonic approach. Harper Collins Academic", New York, US (1989) 466.
- [22] Rollinson H.G., "Using geochemical data: evaluation, presentation and interpretation", Longman Group UK Limited (1993) 352.
- [23] Muller D., Groves D.I., "Potassic igneous and associated gold-copper mineralization", Springer (1997) 241.
- [24] Harris N. B. W., Pearce J. A., Tindle A. G., "Geochemical characteristics of collision zone magmatism. In: Coward, M. P. and Ries, A. C. (eds.), Collision Tectonics", Geological Society London, Special Publication 19 (1986) 67-81.
- [25] Chappell B. W., "Aluminium saturation in I and S-type granites and the characterization of fractionated haplogranites", *Lithos* 46 (1999) 535-551.
- [26] Mason D.R., McDonald J. A., "Intrusive rocks and porphyry copper occurrences of the Papua New Guinea-Solomon Islands region", *Economic Geology* 73 (1978) 857-877.
- [27] Tompson R. N., "British Tertiary volcanic province: Scottish Geology", 18 (1982) 49-107.
- [28] Walker J. A., Patino L. C., Carr M. J., Feigenson M. D., "Slab control over HFSE depletions in Central Nicaragua", *Earth and Planetary Science Letters* 192 (2001) 533-543.
- [29] Wilson M., "Igneous Petrogenesis, a global tectonic approach, Unwin Hyman, London", (1989) 466.
- [30] Richards J., Boyce A., "Geologic evolution of the Escondida area, northern Chile: A model for spatial and temporal localization of porphyry Cu mineralization", *Economic Geology* 96 (2001) 271-305.
- [31] Wang K., Chung S., "Geochemical constraints for the genesis of post-collisional magmatism and the geodynamic evolution of the northern Taiwan region", *Journal of Petrology* 45 (2004) 975-1011.
- [32] Machado A., Lima E. F., Chemale J. F., Morta D., Oteza O., Almeida D. P. M., Figueiredo A. M. G., Alexandre F. M., Urrutia J. L., "Geochemistry constraints of Mesozoic-Cenozoic calc-alkaline magmatism in the south Shetland arc", *Antarctica. Earth Science* 18 (3) (2005) 407-425.

- [52] Muller D., Groves., "Geochemical discrimination between shoshonitic and potassic volcanic rocks in different tectonic settings", *Mineralogy and Petrology* 46(1992) 259-289.
- [53] Frost B.R., Barnes C.G., Collins W.J., Arculus R.J., Ellis D.J., Frost C. D., "Geochemical classification for granite rocks", *Journal of Petrology* (2001) 2033-204.
- [54] Barbarin B., "A review of the relationship between granitoid types, their origins and their geodynamic environments", *Lithos*, 46 (1999) 605-626.
- [55] Tchameni R., Pouclet A., Penay J., Ganwa A., Toteu S., "Petrography and geochemistry of the Ngaondere Pan-African granitoids in Central North Cameroon: Implication for their sources geological setting", *Journal of African Earth Sciences* 44 (2006) 511-529.
- [56] Karsli O., Chen B., Aydin F., Sen C., "Geochemical and Sr-Nb-Pb isotopic compositions of the Eocene Dolek and Saricicek Plutons, eastern Turkey: implications for magma interaction in the genesis of high-K calc-alkaline granitoids in a post-collision extensional setting", *Lithos* 98 (4) (2007) 67-96.
- [57] Wang Q., Wyman D. A., Xu J., Jian P., Zhao Z., Li C., Xu W., Ma J., He B., "Early Cretaceous adakitic granites in the northern Dabie complex, Central China: implications for partial melting and delamination of thickened lower crust", *Geochimica et Cosmochimica Acta* 71(2007) 2609-2636.
- [58] Tankut A., Wilson M., Yihunie T., "Geochemistry and tectonic setting of Tertiary volcanism in the Guvem area, Anatolia, Turkey", *Journal of Volcanology and Geothermal Research* 85 (1-4) (1998) 285-301.
- [59] Whalen C. K., Henker B., Ishikawa S. S., "An electronicy of contextual triggers and ADHD: get ready, get diary stud set, get mad", *Journal of the American Academy of Child and Adolescent Psychiatry* 45 (2006) 166-174.
- [60] Brown G. C., Thorpe R. S., Webb P. C., "The geochemical characteristics of granitoids in contrating arcs and comments on magma sources", *Journal of Geological Society London* 141(3) (1984) 413-426.
- [42] Zhao Z. F., Zheng Y. F., Wei C. S., Wu Y. B., "Post-collisional granitoids from the Dabie orogen in China: Zircon U-Pb age, element and O isotope evidence for recycling of subducted continental crust", *Lithos* 93 (3-4) (2007) 248-272.
- [43] Arjmandzadeh R., Santos S. A., "Sr-Nd isotope geochemistry and tectonomagmatic setting of the Dehsalm Cu-Mo porphyry mineralizing intrusives from Lut Block, eastern Iran", *International Journal of Earth Sciences (Geologische Rundschau)* 103 (2014) 123-140.
- [44] Hoskin P. W. O., Kinny P. D., Wyborn D., Chappell B.W., "Identitifing accessory mineral saturation during differentiation in granitoid magmas: An integrated approach", *Journal of Petrology* 41(9) (2000) 1365-1395.
- [45] Weaver B. L., Tarney J., "Empirica approach to estimating the composition of the continental " Nature 310 (1984) 575-577.
- [46] McDonough W. F., Sun S.S., "The composition of the Earth", *Chemical Geology* 120 crust (1995) 223-254.
- [47] Pearce A. J., Parkinson I. J., "Trace element models for mantle melting: application to volcanic ard petrogenesis", *Geological Society* 76 (1993) 373-403.
- [48] Whalen J. B., Chappell B. W., "Opaque mineralogy and mafic mineral chemistry of I-S-type granites of the Lachlan fold belt, southeast Australia", *American Mineralogist* 73 (1987) 281-296.
- [49] Pearce J. A., Harris N. B. W., Tindle A. G., "Trace element discrimination diagrams for the tectonic interpretation of granitic rock", *J. Petrol.*, 25 (1984) 956-983.
- [50] Pearce J. A., Stern R. J., "Origin of Back-Arc Basin Magmas: Trace Element and Isotope Perspectives, in Back-Arc Spreading Systems: Geological, Biological, Chemical, and Physical Interactions (eds D. M. Christie, C. R. Fisher, S. M. Lee and S. Givens)", American Geophysical Union, Washington, D. C. doi 10.1029/166GM06 (2006).
- [51] Manniar P. D., Piccoli and Piccoli P. M., "Tectonic discrimination of granitoids", *Geological Society of America Bulletin* 101 (1989) 635- 643.

- Anatolia, Turkey", Journal of Volcanology and Geothermal Research 102 (2000) 67-95.*
- [63] Rapp R. P., Watson E. B., "Dehydration Melting of Metabasalt at 8-32 Kbar Implications for Continental Growth and Crust-Mantle Recycling", *Journal of Petrology* 36 (4) (1995) 891-931.
- [61] Kay S. M., Mpodozis C., "magmatism as a probe to Neogene shallowing of the Nazca plate beneath the modern Chilean flat-slab", *Journal of South American Earth Sciences* 15 (2002) 39-57.
- [62] Aldanmaz E., Pearce J. A., Thirlwall M. F., Mitchell J. G., "petrogenetic evolution of late Cenozoic, post-collision volcanism in western